

## 現行 鐵筋콘크리트 極限強 設計法의 信賴性에 關한 研究

李 奉 鶴\*

A Study on Reliability of Current Ultimate Strength  
Design for Reinforced Concrete

Lee, Bong Hak

### Abstracts

Reliability analysis methods have been employed in this study to determine the safety index  $\beta$  for flexure associated with reinforced concrete designs that are in accordance with current USD code of Korea.

In reliability analysis, the mean first-order second-moment methods are employed.

The following specific conclusions can be drawn from this study;

- 1) Levels of safety for reinforced concrete design, measured by  $\beta$ , vary from 2.8 to 3.8 in flexure depending on the limit state, the ratio of live load to dead load and the uncertainties.
- 2) Target reliability  $\beta$  associated with reinforced concrete beams in flexure is assumed to be 3.5~4.0 in Korea.
- 3) Load factors and resistance factors in flexure associated with the current provisions contained in USD code generally seem to be too high. The writer concluded the factors as following;

$$\phi=0.8, \gamma_c=1.1, \gamma_t=1.75$$

### I. 序論

종래의 構造設計는 經驗에 의한 安全率의 도입으로서 材料가 서로 다르나든가 또는 荷重이

틀릴 때에는 一定한 水準의 安全率로써 構造部材를 設計할 수가 없었다. 이에 대처하여 最近先進 外國에서는 確率論的 限界狀態 設計法을 開發하여 設計示方書에 도입하였거나 또는 활발한 研究中에 있어 아마도 80年代의 設計示方

\* 江原大學校 工科大學 土木工學科 專任講師

書의 原型이 될 것으로 안다<sup>1)</sup>. 즉, 구라파 中心의 限界狀態 設計法(Limit State Design, LSD), 미국을 中心으로한 荷重一抵抗係數 設計法(Load and Resistance Factor Design, LRFD) 등이 이미 示方書에 도입되었거나 또는 곧 도입 될 단계에 이르러 있다<sup>2,3,4,5)</sup>.

종전의 彈性設計法의 短點에 대처하여 發展한 限界狀態 設計法은 構造材料의 最大 耐力を 基準으로 하여 考察하였는데 構造部材가 그 機能을 발휘할 수 없게 되거나 또는 特別한 상태를 限界狀態(Limit State)라고 하며 이 限界狀態는 極限限界狀態(Ultimate Limit States)와 使用限界狀態(Serviceability Limit States)로 나누어 생각할 수 있는데 極限 限界狀態는 構造物 또는 部材의 最大 耐荷力を 나타내는 限界狀態로서 뼈대不安定, 局部不安定 등이 이에 속하고 使用限界狀態는 正常的인 使用狀態에서 그 機能을 발휘 할 수 없게된 상태로 과도한 처짐, 振動 또는 早期降伏, 균열 등의 狀態를 말한다<sup>6)</sup>. 결국 이러한 設計法의 目的은 위와같은 限界狀態로 되는 確率을 構造物의 모든 部材에 대하여 거의 一定한 값이 되도록 하여 적절한 安全度를 갖게 하는데 있다.

限界狀態 設計法 또는 LRFD는 모두가 確率論的 設計方法으로서 構造物의 設計變數에 使用되는 두가지 變量 즉, 材料强度와 荷重效果는 random 變數로서 不確實 要因을 確率理論으로서 처리하고 있다. 構造安全에 대한 信賴度 解析에 이러한 確率論的 接近方法을 사용하므로서 몇가지 유리한 점이 있다<sup>7)</sup>. 우선, 設計者에게 構造設計의 安全性과 使用性의 面에 보다 많은 認識을 갖게 해 준다. 또한 서도 다른 構造部材에 똑같은 一定한 水準의 安全率을 나타내도록 할 수 있는 長點이 있다.

信賴性 理論에 관한 初期 研究는 Freudenthal<sup>7,8,9)</sup>에 의하여 이루어 졌는데 그는 破壞 確率을 構造安全의 基準으로 삼는 古典的 方法(Level III 方法)을 考案, 研究하기 시작하여 Ang, Amin<sup>10,11)</sup>, Moses<sup>12)</sup> 등에 의하여 확장되었는데 이 方法은 媒介變數의 確率分布를 정확히 알아야 하는 等의 不便함 때문에 實際 構

造的 設計의 計算에 복잡함이 있다<sup>13)</sup>.

이에 반하여 Cornell<sup>13)</sup>, Lind-Hasofer<sup>14)</sup>, Ellingwood<sup>15)</sup> 등에 의하여 발전된 平均 1階 2次 모멘트法(Level II 方法)이 있는데 構造物의 相對的 信賴性을 단자, 材料 또는 荷重效果의 平均과 分散에 의하여 解析하는 實用的 方法이다. 한편 이 Level II 理論<sup>16)</sup>은 現在 우리가 늘 사용하고 있는 設計式의 安全率 概念과 같은 半確率的 確定的 設計法의 形態인 Level I 設計法의 基準 開發에 應用되고 있는 實情이다<sup>3,4)</sup>.

Level II 2次 모멘트法에 의한 設計는 많은 實驗統計 資料에 의한 正確한 平均值와 分散值가 필요로 되는데 最近 이에 관한 많은 文獻들이 나와 있다<sup>3,4,17,18)</sup>. 이러한 資料情報を利用して 現存하는 規準에 Calibration 함으로써 目標 信賴性 指數를 얻을 수 있다. Galambos 와 Ravindra는 미국 AISC 시방서에 의해 Calibration에 함으로서 鋼構造에 관한 信賴性指數를 計算하였으나<sup>5,6,19,20,21,22,23)</sup> 鐵筋콘크리트에 관한 信賴性 指數의 연구도 Ellingwood<sup>2,3,17,18)</sup>, Ang<sup>15)</sup> 등에 의하여 行하여 졌다.

本研究는 Level II 2次 모멘트法에 의한 信賴性 解析에 의하여 現在 우리가 사용하고 있는 힘에 대한 極限強 設計法에 Calibration 하여 現行 設計法에 대한 安全水準을 알아보고 우리 現實에 적합한 目標 信賴性 指數를 定하여 그에 따른 荷重係數와 抵抗係數를 決定하여 分析考察能하여 봄으로써 장차 일관성 있는 새로운 示方書 規準開發에 기여하고자 한다.

## 2. 信賴性 解析

### 2.1. Level III 方法(古典理論)<sup>16)</sup>

構造抵抗 R과 荷重效果 S가 어떤 確率 모델에서 確率密度함수  $f_R(r)$ 과  $f_S(s)$ 로 각각 기술된다면 構造物의 위험정도 测定은 破壞確率(Probability failure)로 表現할 수 있다<sup>24)</sup>. 抵抗力 R이 荷重效果 S 보다 작을 確率, 즉, 破壞確率  $P_f$ 는

$$P_f = P(R < S) = \int_0^{\infty} \left\{ \int_0^s f_R(r) dr \right\} f_S(s) ds \\ = \int_0^{\infty} F_R(s) f_S(s) ds \\ \text{또는 } P_f = \int_0^{\infty} f_R(r) [1 - F_S(r)] dr \quad \dots \dots \dots \quad ①$$

로 되고 여기서  $F_R(\cdot)$ 은  $R$ 의 累積分布 함수이다. 한편 構造 信賴性  $P_s$ 는

$P_r = P(R > S) = 1 - P_f$  ..... ②  
 가 된다. 위식이 正規分布에 따르는 確率모델  
 이라고 한다면

$$P_S = 1 - P_F = \frac{1}{\sqrt{2\pi}} \int_{-\infty}^y \exp\left(-\frac{t^2}{2}\right) dt \quad \dots \dots \dots \quad ③$$

$$\text{단, } Y : \frac{\bar{R} - \bar{S}}{\sqrt{\sigma_R^2 + \sigma_S^2}}$$

$\bar{R}$ ,  $\bar{S}$ ; 각각 저항과荷重效果의 平均值  
 $\sigma_R^2$ ,  $\sigma_S^2$ ; 각각 저항과荷重效果의 분산.

위의 ③式에 의하여 信賴度를 求 할 수 있는데  
 現實的으로는 限定된 情報下에서 R과 S의 正確한 確率分布를 알기가 곤란하고 不確實 要因을 포함시킬 수가 없는 등의 不便때문에 理論的으로는 타당하지만 實用的 모델이 되지 못하고 있다<sup>12)</sup>.

## 2.2. Level II 方法(2次 모멘트법)

上記한 破壞確率 理論은 어떠한 確率分布에 따르느냐에 따라 確率分布의 끝 部分에서는 相當히 민감하다<sup>11)</sup>. 그러나 信賴性 解析에서는 確率分布의 끝 部分이 상당한 意味를 가질 수 있기 때문에 上記한 理論은 어려움이 있다. 이러한 難點을 감안하여 Cornell에 의하여 考案된 것이 構造物의 信賴性을 變數의 推定平均과 分散에 의해서만 解析하는 1階 2次 모멘트法이다<sup>12)</sup>. 이 方法은 標識이 간단함과 동시에 實用的이기 때문에 상당히 좋은 方法으로 대두되고 있다. 本 研究에서는 Cornell의 MFOSM(Mean First Order-Second Moment Method)과 Lind-Hasofer<sup>13)</sup>의 不變 2次 모멘트法인 最少거리法을 Ellingwood<sup>2), 17)</sup> 등이 R.C. 構造의 信賴性 基準 開發에 적용한 抵抗變數의 對數變換모델을 토대로 考察하고자 한다.

$\ln(R/S)$ 의 確率分布가 주어졌다고 할 때 破

壞確率은

平均은 0이고 분산이 1인標準化變數  $U$ , 즉,

$$U = \frac{\ln(\frac{R}{S}) - (\ln(\frac{R}{S}))m}{\sigma_{ln}(R/S)} \quad \dots \dots \dots \quad (5)$$

를 도입하면

여기서  $[\ln(R/S)]_m$ ,  $\sigma_{\ln(R/S)}$ ; 각각  $\ln(R/S)$ 의  
平均과 標準偏差

$F_u$  : 標準化 變數  $U$ 의 累積分布함수.  
 위 式에서  $[\ln(R/S)]_n/\sigma_{\ln(R/S)}$ 는 要素의 信賴  
 度를 뜻하는데 이를 信賴性 指數(Reliability  
 Index) 또는 安全性 指數(Safety Index)  $\beta$ 라  
 한다. 즉,

여기서  $V_R$ ,  $V_s$ 는 각각 R과 S의 變動係數인데 평균치에 대한 표준편차의 比를 뜻한다. ⑦式은  $V_R$ ,  $V_s$ 가 0.3 보다 작을 때는 대략적으로 다음과 같이 간략히 표현될 수 있다<sup>24)</sup>.

$$\beta = \frac{\ln \frac{R}{S}}{\sqrt{V_R^2 + V_S^2}} \quad \dots \dots \dots \quad (8)$$

Fig. 1은  $\beta$ 를 정의한 것이고 Table 1은  $\beta$ 와  
破壞確率  $P_f$ 의 關係를 나타낸 것이다.

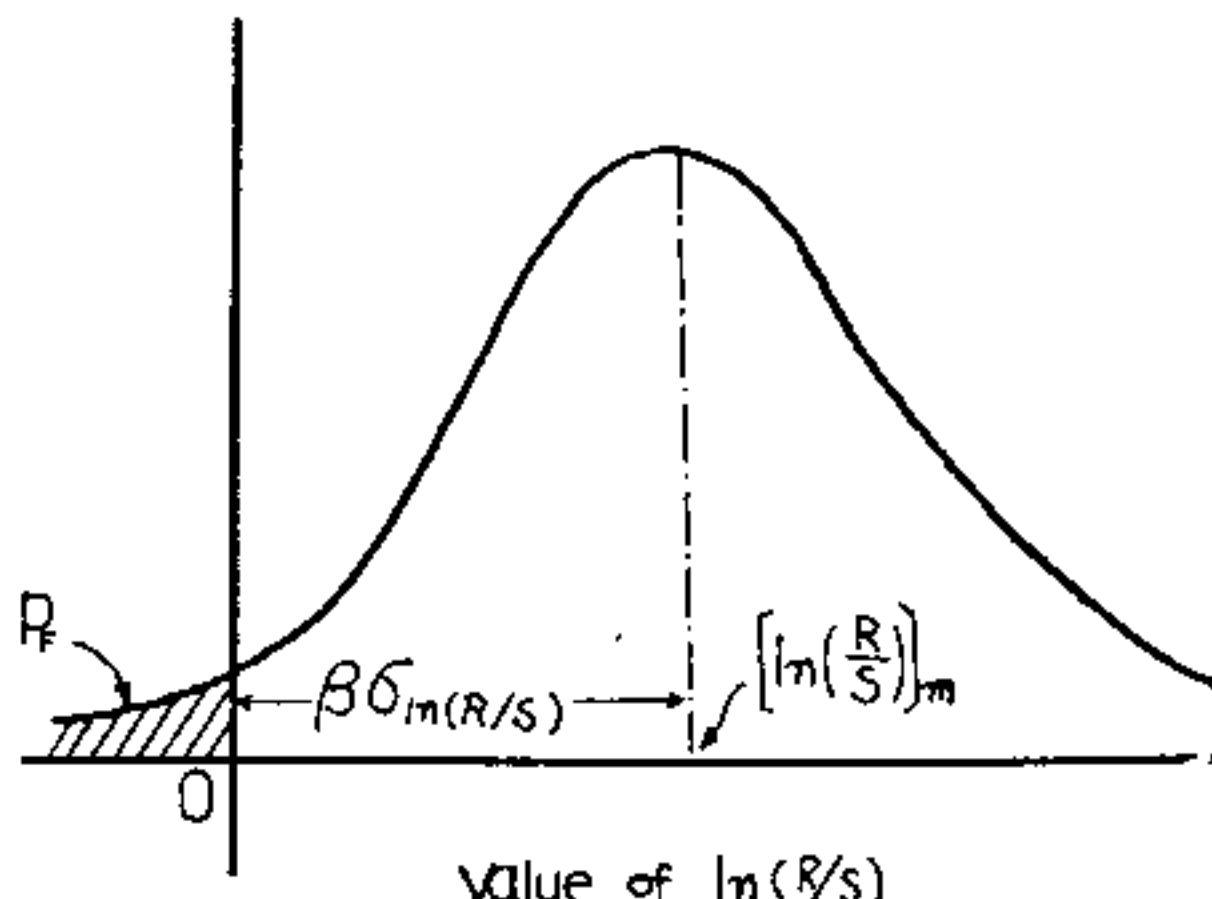


Fig. 1. Definition of Safety Index

Table 1. Failure Probability and Safety Index

$P_f$	$10^{-1}$	$10^{-2}$	$10^{-3}$	$10^{-4}$	$10^{-5}$	$10^{-6}$	$10^{-7}$	$10^{-8}$	$10^{-9}$	$10^{-10}$
$\beta$	1.28	2.32	3.09	3.72	4.27	4.75	5.20	5.61	6.00	6.36

中央安全率  $\theta$ 는 ⑦式으로부터

$$\theta = \frac{\bar{R}}{S} = \sqrt{\frac{1+V_R^2}{1+V_S^2}} \exp(\beta \sqrt{\ln(1+V_R^2)(1+V_S^2)} - \exp(\beta \sqrt{V_R^2 + V_S^2}) \dots \quad ⑨$$

가 됨을 알 수 있다.

2次 모델트 信頼性 解析에 관한 많은 文獻들이 최근에 나왔는데<sup>4), 6), 24)</sup> 여기서는 Ellingwood<sup>2), 17)</sup>에 의한 方法을 따르기도 한다.

우선 限界狀態 方程式을 다음과 같이 表現한다.

$$g(R_1, R_2, \dots, S_1, S_2, \dots) = 0 \quad ⑩$$

여기서  $R_i$ 와  $S_i$ 는 각각 각개의 저항과 荷重項을 나타내며  $g < 0$  일 때 파괴가 일어난다. 이들 基本 抵抗 및 荷重變數를 平均은 0, 分散은 1을 갖는 縮小變數로 轉換될 수 있다. すな

$$\left. \begin{aligned} r_i &= \frac{\ln R_i - \ln \bar{R}_i}{\sigma_{\ln R_i}} \\ s_i &= \frac{S_i - \bar{S}_i}{\sigma_{S_i}} \end{aligned} \right\} \quad ⑪$$

여기서  $\bar{S}_i$ ,  $\sigma_{S_i}$ 는 각각  $S_i$ 에 대한 平均과 標準偏差이며  $\ln R_i$ 에 대해서도 마찬가지이다. 그리고 ⑪式은 다음과 같이 다시 쓸 수 있다.

$$g_1(r_1, r_2, \dots, s_1, s_2, \dots) = 0 \quad ⑫$$

荷重項 만을 對數變換 한 것은  $R_i$ 의 (-)값이 생길 경우의 理論的 어려움을 피하기 위해서 바람직한 式이다<sup>2)</sup>. 設計目的을 위하여 式⑫로 정의되는 座標面에

$$\left. \begin{aligned} r_i^* &= -\alpha_{R_i} \beta \\ s_i^* &= \alpha_{S_i} \beta \end{aligned} \right\} \quad ⑬$$

와 같은 點을 생각할 수 있다 ( $r_1^*, r_2^*, \dots, s_1^*, s_2^*, \dots$ )는 縮小變數 座標系에서 原點으로부터 가장 가까운 點을 뜻하는데 이 거리가 安全指數  $\beta$ (또는 信頼性 指數)가 된다<sup>2)</sup>.  $\alpha_{R_i}$  및  $\alpha_{S_i}$ 는  $\beta$ 를 측정하는 방향에 대한 測定方向 單位 Vector이다.

$$\ell_{x_i} = \sqrt{\frac{\partial g_1}{\partial x_i}} ; x_i = r_i, s_i \quad ⑭$$

여기서 편미분 項은  $(r_1^*, r_2^*, \dots, s_1^*, s_2^*, \dots)$ 에 서 算定된다. Code Calibration 과 設計問題는  $\beta$ 를 最小化하는  $\alpha_i$ 를 찾기 위해 式⑫~⑯를 가지고 反復試行 절차를 밟아야 한다. 信頼度 解析을 그림으로 나타낸 것이 Fig. 2이다.

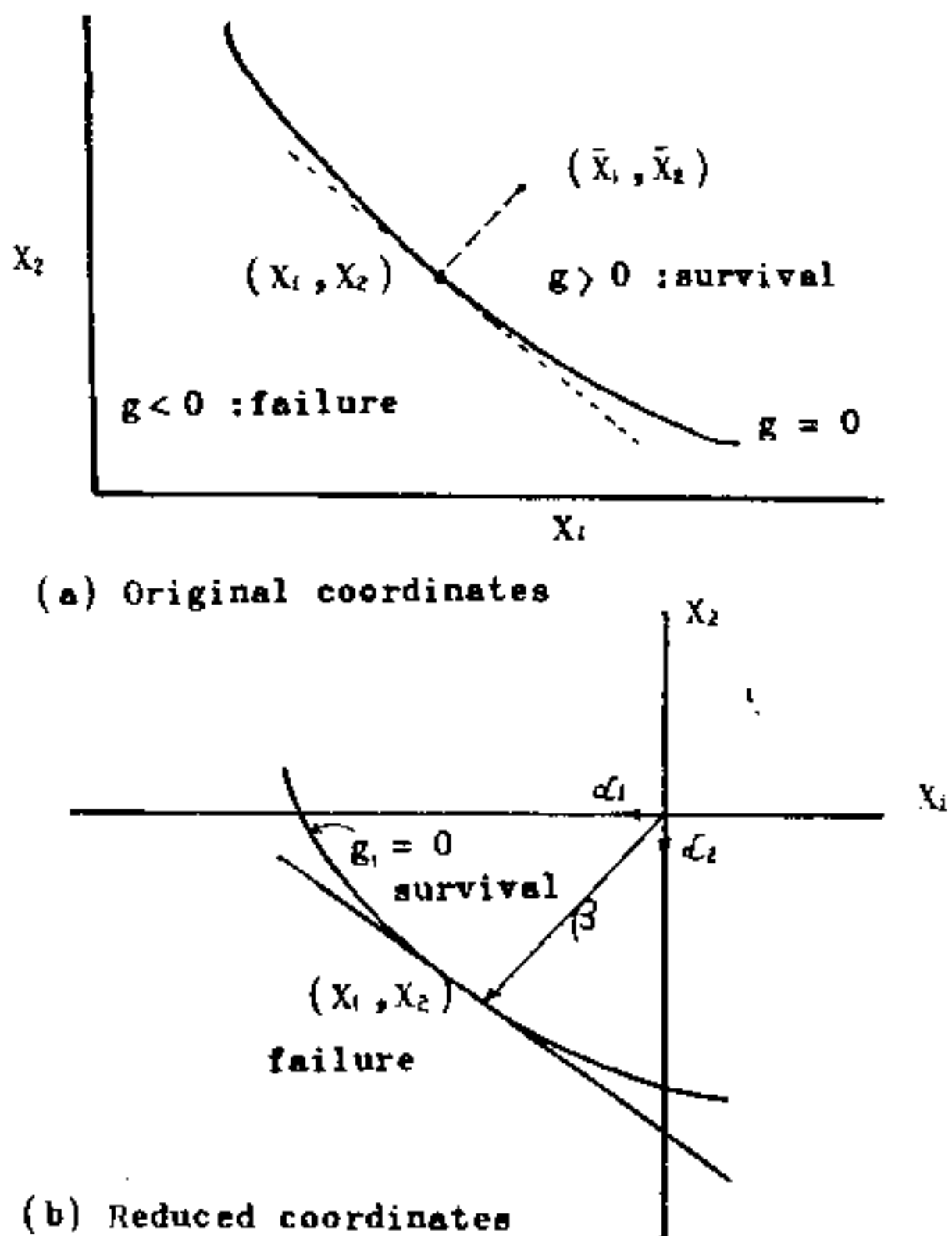


Fig. 2. Safety Analysis in Original and Reduced Variable Coordinates

실제 計算은 基本變數가 定義된 基本座標系에서 行하는 것이 便利한데,

$$\left. \begin{aligned} R_i^* &= \bar{R}_i \exp(-\alpha_{R_i} \beta V_{R_i}) \\ S_i^* &= \bar{S}_i (1 + \alpha_{S_i} \beta V_{S_i}) \end{aligned} \right\} \quad ⑮$$

이때  $V_{R_i}$ ,  $V_{S_i}$ 는 각각  $R_i$ ,  $S_i$ 의 變動係數(COV)이며 設計條件式은

$$g(r_1^*, r_2^*, \dots, s_1^*, s_2^*, \dots) = 0 \quad ⑯$$

이다. 또한  $\alpha_i$ 는

$$\left. \begin{aligned} \alpha_k &= -\frac{\alpha_k}{\sqrt{\sum \alpha_k^2}} \\ \alpha_{Ri} &= \sigma_{Ri} \exp(-\alpha_{Ri} \beta V_{Ri}) \left( \frac{\partial g}{\partial R_i} \right)_* \\ \alpha_{Si} &= -\sigma_{Si} \left( \frac{\partial g}{\partial S_i} \right)_* \end{aligned} \right\} \quad \text{.....(10)}$$

(15)~(17)式을 反復試行法으로 풀어  $\alpha$ 와  $\beta$ 를 定한 후 (15)式에 代入하면 抵抗係數 및 荷重係數를 求할 수 있게 된다. 즉, 限界狀態 方程式은

$$\phi \bar{R} = T_D \bar{S}_D + T_L \bar{S}_L \quad \text{.....(18)}$$

$$\left. \begin{aligned} \phi &= \exp(-\alpha_R \beta V_R) \\ T_D &= 1 + \alpha_D \beta V_{SD} \\ T_L &= 1 + \alpha_L \beta V_{SL} \end{aligned} \right\} \quad \text{.....(19)}$$

위 式에서 문명하듯이 2次 모멘트法에 의한 信賴度 解析은 信賴性 指數  $\beta$ 는 文本이고 設計變數의 平均과 變動係數에 의존함을 알 수 있다.

### 2.3. 不確實量의 解析

一般的으로 構造物 設計에는 많은 不確實 要因이 內在하고 있다. 大別하여 材料強度에 생기는 不確實 要因과 荷重效果에 생기는 不確實 要因이 있는데 이들 不確實 要因을 正確히 알아내기란 거의 不可能하지만 이제까지의 經驗과 그리고 많은 實驗·統計資料들로부터 그 값을 推定해 내지 않으면 안된다.

$R$ 과  $S$ 의 不確實量을 각각  $X_i$ 와  $Y_i$ 에 不確實함수로서 나타내면 Taylor 級數 展開를 通하여  $R$ 과  $S$ 의 1階 平均值로 나타낼 수 있다<sup>24)</sup>.

$$\left. \begin{aligned} \bar{R} &\doteq f(\bar{x}_1, \bar{x}_2, \dots, \bar{x}_n) \\ \bar{S} &\doteq g(\bar{Y}_1, \bar{Y}_2, \dots, \bar{Y}_m) \end{aligned} \right\} \quad \text{.....(20)}$$

이들 變動係數는

$$\left. \begin{aligned} V_R^2 &= \frac{\sigma_R^2}{\bar{R}^2} = \frac{1}{\bar{R}^2} \sum_{i=1}^n \left( \frac{\partial f}{\partial X_i} \right)_0^2 \sigma_{x_i}^2 \\ V_S^2 &= \frac{1}{\bar{S}^2} \sum_{i=1}^m \left( \frac{\partial f}{\partial Y_i} \right)_0^2 \sigma_{y_i}^2 \end{aligned} \right\} \quad \text{.....(21)}$$

여기서  $\sigma_{xi} = V_{xi} \bar{X}_i$ ,  $\sigma_{yi} = V_{yi} \bar{Y}_i$ ,  $\left( \frac{\partial f}{\partial X_i} \right)_0$  및  $\left( \frac{\partial f}{\partial Y_i} \right)_0$ 는 平均값에서 計算된 偏微分 值이다.

$X_i$ ,  $X_i$ 가 獨立변수이면

$$\left. \begin{aligned} V_R^2 &= \frac{1}{\bar{R}^2} \left[ \sum_{i=1}^n \left( \frac{\partial f}{\partial X_i} \right)_0^2 \sigma_{x_i}^2 + \right. \\ &\quad \left. \sum_{i=1}^n \sum_{j=1}^{i-1} \left( \frac{\partial f}{\partial X_i} \right)_0 \left( \frac{\partial f}{\partial X_j} \right)_0 \rho_{ij} \sigma_{x_i} \sigma_{x_j} \right] \end{aligned} \right\} \quad \text{.....(22)}$$

여기서  $\rho_{ij}$ 는 相關係數이며  $V_x$ 에 관하여도 마찬가지로 表현할 수 있다.

一般的으로 確率變數  $X$ 에 대한 총 不確實量은 다음 式으로 求한다<sup>11, 15)</sup>.

$$V_x = \sqrt{\Delta x^2 + \delta x^2} \quad \text{.....(23)}$$

여기서  $\Delta x$  :  $X$ 의 預측 불확실량이고  $\delta x$  :  $X$ 의 기본 불확실량이다.  $\delta x$ 는 그 자체에 本質的으로 주어진 不確實量이므로 試料크기에 無關하지만, 모델링이나 豫測에 기인한 不確實量  $\Delta x$ 는 基本모델이 진보되든지 더 많은 資料가 有用하게 되면 줄어들게 된다.

鐵筋콘크리트 部材 設計時에 쓰이는 抵抗力과 荷重에 關한 不確實量의 算定은 최근 미국標準局(NBS)에서 발표한 바 있는데 그를 要約하면 Table 2와 같다<sup>25)</sup>.

Table 2. Summary of Statistics for Resistance and Load

	Parameter(1)	Mean/nominal(2)	Coefficient of Variation (3)
(a) Resistance	Flexure	1.12	0.13~0.16
	Shear	1.14~1.20	0.20~0.23
	Compression, bending	0.97~1.13	0.14~0.18
(b) Load	Dead	1.0	0.10
	Max. live	Varies	0.27~0.26
	Instantaneous live	Varies	Varies
	Max. wind (60yr)	1.2	0.31
	Max. wind (8yr)	1.75	0.35

公稱抵抗에 대한 平均抵抗值의 比도 나타냈는  
데 이 값은 Code Calibration에 필요하게 된  
다. 활에서  $V_R$ 의 變化는 部材두께가 늘어남에  
따라 鐵筋位置의 變動에 따른 영향이다<sup>2)</sup>. 剪  
斷抵抗의 變動係數는 腹鐵筋量이 增加하면 減  
少하게 된다<sup>2)</sup>. 또한 軸壓縮 및 굽힘에서  $V_R$   
은 鐵筋比가 작을수록 그리고 荷重偏心이 작을  
때 더 커지는 경향이다<sup>2)</sup>.

### 3. 信賴性 解析 適用 및 考察

우리나라의 現行 鐵筋콘크리트 極限強示方書  
와 ACI 318-77 示方書의 活에 대한 각각  $\phi =$   
 $1.5D + 1.8L$ ,  $\phi = 1.4D + 1.7L$ 이란 狀態方程式  
의 信賴性 정도를 검토하기 위하여 亂章에서  
취급한 式들을 利用하여 Calibration 한 結果,  
활에 대하여 Fig.3과 같음을 알 수 있었다.

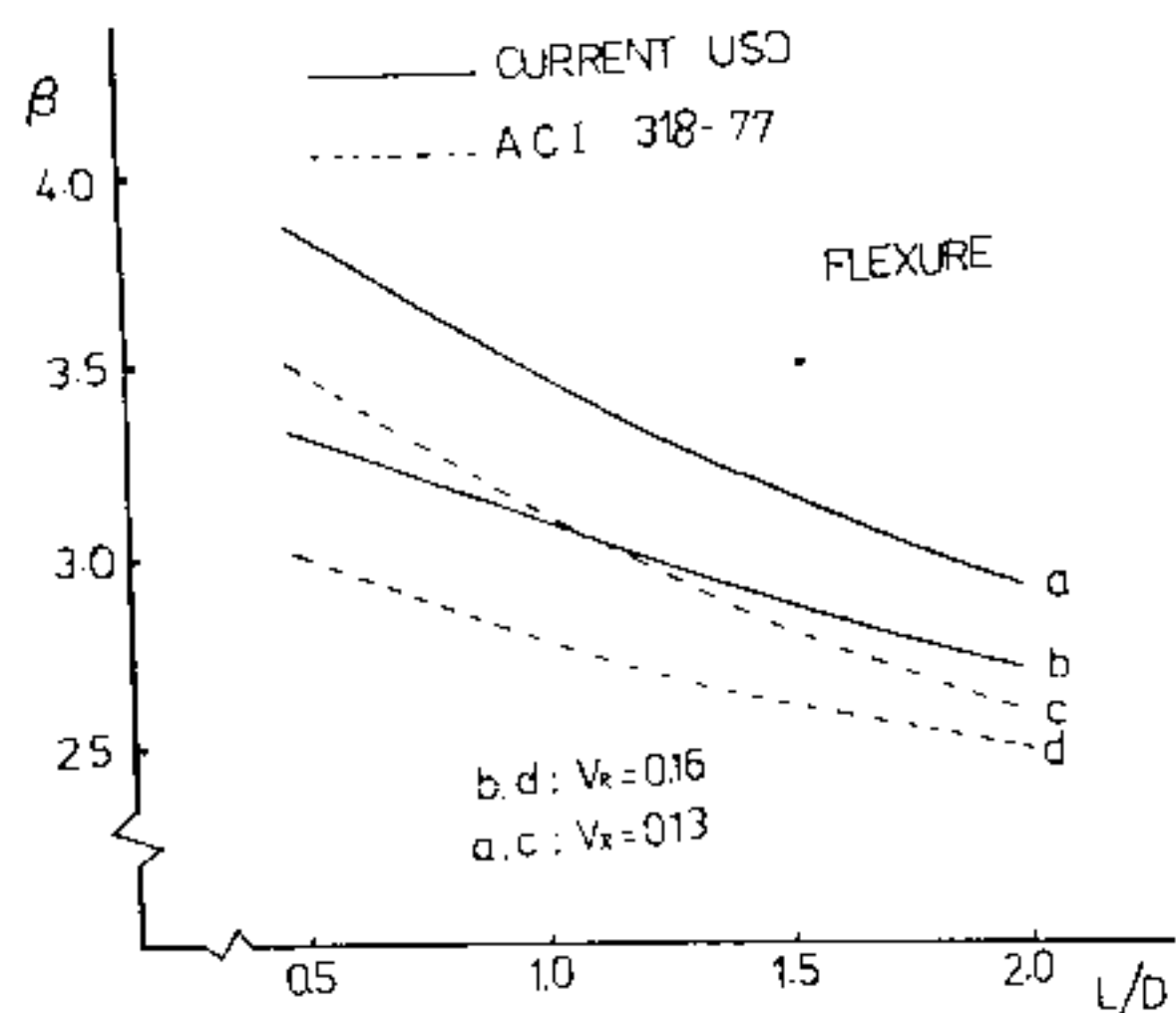


Fig. 3. Reliability Index for Flexure  
( $U=D+L$ )

여기서 이용한 不確實量은  $V_R = 0.13 \sim 0.16$ ,  
 $V_{SD} = 0.1$ ,  $V_{SL} = 0.26$ ,  $\bar{M}/M' = 1.12$ ,  $\bar{S}_L/S'_L =$   
 $1.10$ 을 사용하였다.

이 그림을 보면 現行 極限強示方書의 信賴  
性 指數  $\beta$ 는 대략 2.8~3.8 사이에 있고 ACI  
318-77 示方書의 信賴性 指數는 2.5~3.5 사  
이에 있음을 알 수 있다.  $L/D$ 의 비율이 커질  
수록  $\beta$ 는 대략 0.7정도 작아지며 抵抗變動 係

數  $V_R$ 의 上下限值(0.16, 0.13)에 따라서는  
0.2~0.3 정도의  $\beta$ 值에 차이가 있음을 알 수  
있다. Ellingwood는 鐵筋콘크리트 構造物의  
활에 대하여  $\beta$ 를 3으로 할 것을 主張하고 있는  
데<sup>2), 17)</sup> 우리는 材料強度 및 荷重等에 관한 不  
確實要因을 더 여유있게 고려할 때 目標信賴性  
指數는  $\beta = 3.5 \sim 4.0$  사이에서 취하면 좋을 것  
으로 사료된다.

Fig. 4는  $L/D$  荷重比에 대한 變動係數  $V_R$   
抵抗係數  $\phi$ , 그리고 公稱抵抗에 대한 平均 抵

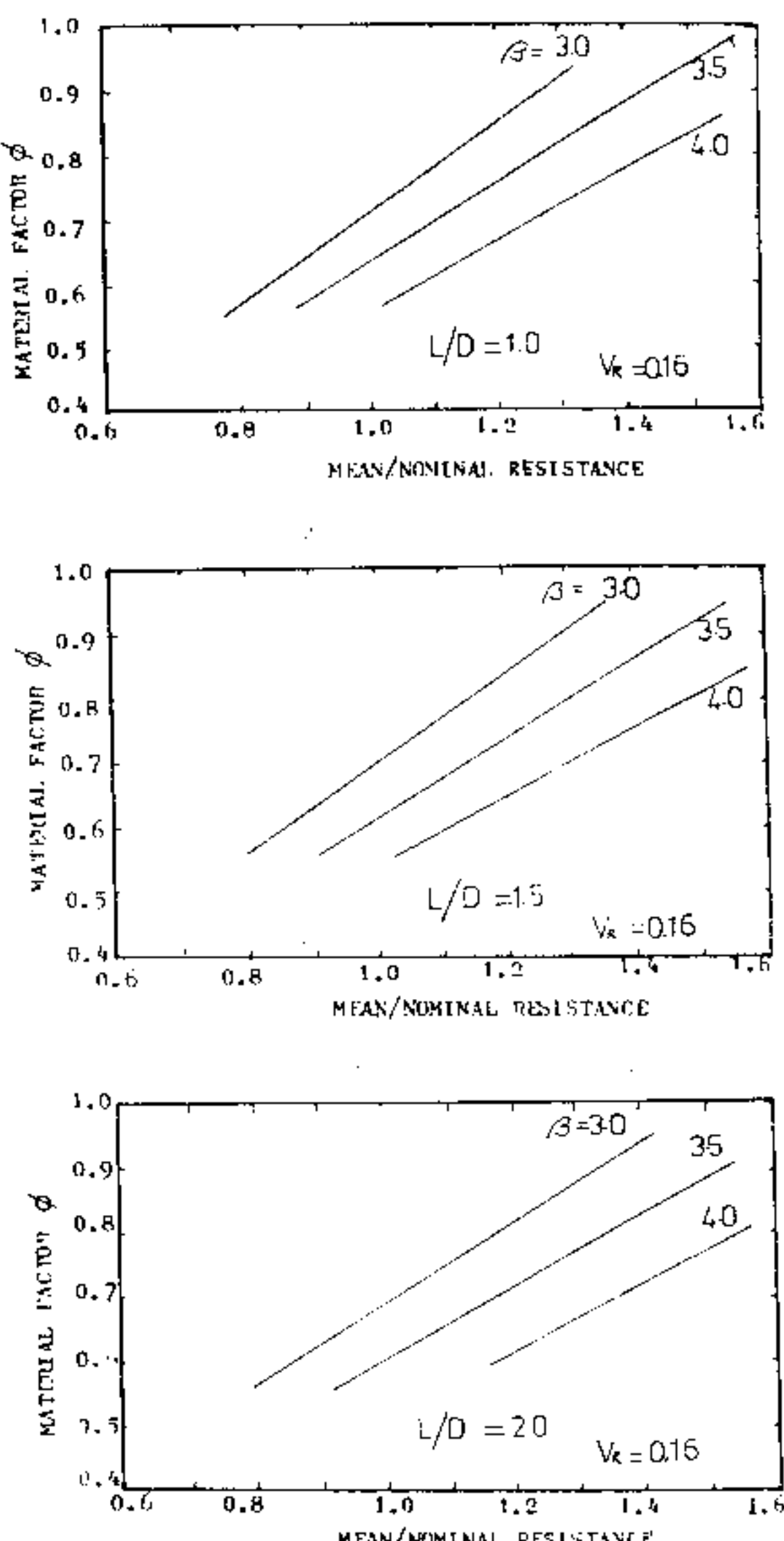


Fig. 4. Relation of  $\phi$  to  $\beta$ ,  $R/R'$ ,  $V_R$  and  
 $L/D$

抗比  $\bar{R}/R'$ 의 값을  $\beta$ 值와 더불어 나타낸 것이다.  $\bar{R}/R'=1.12$ 라고 할 때  $\beta=3.5\sim4$  정도에 해당하는  $\phi$ 值는 대략 0.7정도임을 알 수 있다.

한편 L/D比에 따른  $\phi$ 와  $\gamma$ 값을  $\beta=3$ 과  $\beta=4$ 에 대하여 나타낸 것이 Fig. 5이다.

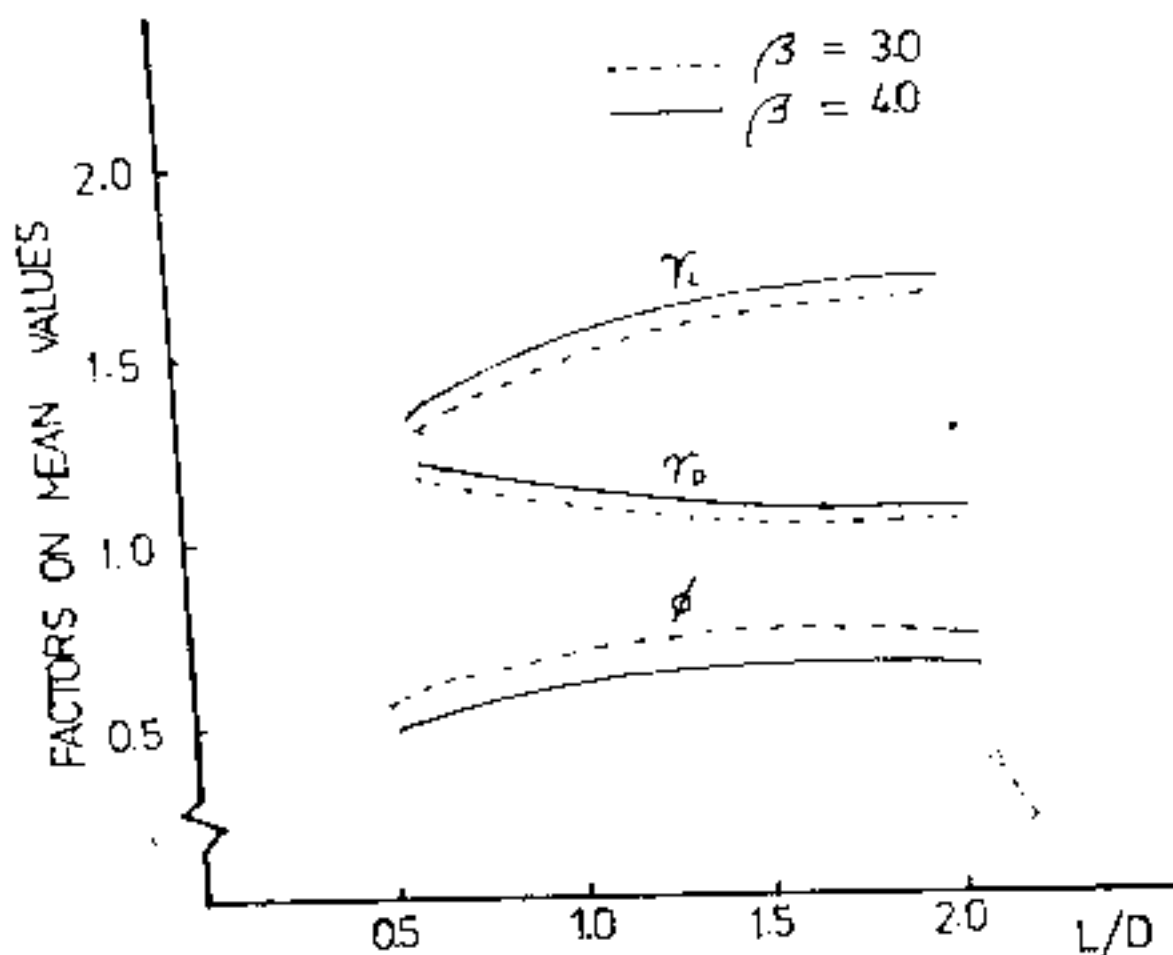


Fig. 5. Load and Resistance Factors for Flexure ( $U=D+L$ )

$L/D$ 의 크기에 따라  $\phi$ 值는 민감한 변화를 일으키지 않으나 死荷重係數  $\gamma_d$ 는 약 0.1 정도減少하고 活荷重係數  $\gamma_l$ 은 0.2 이상의 증가를 보여준다.  $L/D$ 의 증가에 따라  $\gamma_l$ 이 상당히 민감한 것은  $L/D$ 이 증가할 때 活荷重變動量이 全體 設計荷重에 큰 몫을 차지하기 때문이다. 이 그림에서  $\gamma_d$ 는 1.1 内外를 나타내는데 이는 死荷重에 대한 變動量이 작기 때문이다. 活荷重에 대한 平均值와 公稱值의 비율이 1.0임을 감안하면 現在의 示方書 값은 상당히 過大하게 취하였음을 알 수 있다. 또한 抵抗係數  $\phi$ 값도 現在의 示方書 값이 너무 크게 定하여져 있음을 알 수 있다.

上記한 結果를 分析, 考察하여 보면

1) Ellingwood 등이 발표한 荷重 및 抵抗에 대한 統計値를 利用하여 그中 最大値 程度의 不確實量을 가지고 現在의 極限強示方書를 Calibration 할 때  $\beta$ 는 2.8~3.8 사이의 값을 갖고 있음을 알 수 있는데 우리 現實을 감안할 때 目標信賴性指數는 3.5~4 정도를 가짐이 바람직 하다고 본다.

2)  $\phi$ 와  $\gamma_d$ 는  $L/D$ 比에 따라 큰 변화가 없으나  $\gamma_l$ 은  $L/D$ 比에 따라 민감한 反應을 나타냄을 알 수 있었다.

3)  $\beta$ 를 3.5~4로 취할 때  $\bar{R}/R'=1.12$ ,  $V_R=0.15\sim0.16$ 에서  $\phi=0.7$  정도가 될 수 있다.

4) 또한  $L/D=1.5\sim2.0$ ,  $V_R=0.16$ ,  $\beta=3.5\sim4$ 에서  $\gamma_d=1.1$ ,  $\gamma_l=1.6$  정도가 적절한 값임을 그림의 分析結果를 통해서 보여준다.

5) 위에서 정한 값을 현재의 示方書와 같은 公稱值로 變換하면

$$\phi'=0.7 \left( \frac{\bar{R}}{R'} \right) = 0.7 \times 1.12 = 0.78$$

$$\gamma_d'=1.1 \times \left( \frac{\bar{S}_d}{S'_d} \right) = 1.1 \times 1.00 = 1.10$$

$$\gamma_l'=1.6 \times \left( \frac{\bar{S}_l}{S'_l} \right) = 1.6 \times 1.1 = 1.76$$

으로서 現行 示方書와 비교하면 상당히 차이가 있음을 알 수 있다.

#### 4. 結論

本研究에서는 現行의 鐵筋콘크리트 極限強示方書의 힘에 대한 信賴性 程度를 알아내고 우리 現實에 알맞는 目標信賴性指數  $\beta$ 를 選定하여 그에 相應한 抵抗 및 荷重係數를 Level II理論에 의하여 求하여 보았다. 그結果 다음과 같은 結論을 얻을 수 있었다.

1) 現行 示方書 規準의 信賴性은 一貫性이 결여되어 있어 적절치 못하므로 一貫性 있는 信賴性理論으로 求한 荷重 및 抵抗係數를 使用해야 함이 바람직하다.

2) Ellingwood 등은 콘크리트 構造의 힘에 대하여 目標信賴性指數를 3.0으로 定하고 있는데 우리는 이 보다 높은 3.5~4.0 정도가 바람직한 것으로 보며 이에 따른 公稱抵抗係數는  $\phi=0.8$ , 公稱死荷重係數  $\gamma_d=1.1$ , 公稱活荷重係數  $\gamma_l=1.75$  정도가 되므로 이에 맞도록 조정함이 좋을 것으로 사료된다.

3) 信賴性 解析을 正確한 反復試行法에 따르지 않고 近似解法에 따르게 되면 위의 係數들이 약간 높은 값으로 나오게 되는데 實用化를

위해서는 近似解法도 바람직한 것으로 본다.

4) 本研究는 휨에 대하여만 考察하였는데

剪斷, 引張, 壓縮部材에 대하여도 마찬가지로

信賴性 解析을 적용할 수 있다.

## 參 考 文 獻

1. 趙孝男, “R.C. 휨 部材의 L.R.F.D. 信賴性 設計基準에 관한 研究”, 大韓土木學會 論文集, 第1卷 第1號, 1981年, 12月, pp. 21~32
2. Ellingwood, B., “Reliability of Current Reinforced Concrete Designs”, Journal of the Structural Division, ASCE, Vol. 105, № ST4, Apr., 1979, pp. 69~712
3. Ellingwood, B., MacGregor, J.G., Galambos, T.V., and Cornell, C.A., “Probability Based Load Criteria: Load Factors and Load Combinations”, Journal of the Structural Division, ASCE, Vol. 108, № ST5, May, 1982, pp. 978~997
4. Galambos, T.V., Ellingwood, B., MacGregor, J.G., and Cornell, C.A., “Probability Based Load Criteria: Assessment of Current Design Practice”, Journal of the Structural Division, ASCE, Vol. 108, № ST5, May, 1982, pp. 959~977
5. Galambos, T.V., and Ravindra, M.K., “Tentative Load and Resistance Factor Design Criteria for Steel Plate Girders”, Research Report № 29, Washington University, Feb., 1976,
6. Ravindra, M.K., and Galambos, T.V., “Load and Resistance Factor Design For Steel”, Journal of the Structural Division, ASCE, Vol. 104, № ST9, Sep., 1978, pp. 1337~1353
7. Freudenthal, A.M., “Safety, Reliability and Structural Design”, Journal of the Structural Division, ASCE, Vol. 87, № ST3, Mar., 1961, pp. 1~16
8. Freudenthal, A.M., Garrelts, J.M., and Shinozuka, M., “The Analysis of Structural Safety”, Journal of the Structural Division, ASCE, Vol. 92, № ST1, Feb., 1966, pp. 267~325
9. Freudenthal, A.M., “Safety, Reliability and Structural Design”, Transactions of ASCE, Vol. 127, 1962, Part II, pp. 304~323
10. Ang, A.H-S., and Amin, M., “Reliability of Structures and Structural Systems”, Journal of the Engineering Mechanics Division, ASCE, Vol. 94, № EM2, Apr., 1968, pp. 671~691
11. Ang, A.H-S., “Structural Risk Analysis and Reliability-Based Design”, Journal of the Structural Division, ASCE, Vol. 99, № ST9, Sep., 1973, pp. 1891~1910
12. Moses, F., and Kinser, D.E., “Analysis of Structural Reliability”, Journal of the Structural Division, ASCE, Vol. 93, № ST5, Oct., 1966, pp. 147~164
13. Cornell, C.A., “A Probability-Based Structural Code”, Journal of the American Concrete Institute, Vol. 66, № 12, Dec., 1969, pp. 974~985
14. Hasofer, A.M., and Lind, N.C., “Exact and Invariant Second-Moment Code Format”, Journal of the Engineering Mechanics Division, ASCE, Vol. 100, № EM1, Feb., 1974, pp. 111~121
15. Ellingwood, B., and Ang, A.H-S., “Risk-Based Evaluation of Design Criteria”,

Journal of the Structural Division, ASCE, Vol. 100, № ST9, Sep., 1974, pp. 1771~1787

16. Leporati, E., "The Assessment of Structural Safety", Series in Cement and Concrete Research, Vol. 1, Research Studies Press, 1979, pp. 1~133
17. Ellingwood, B., "Reliability Based Criteria for Reinforced Concrete Design", Journal of the Structural Division, ASCE, Vol. 105, № ST4, Apr., 1979, pp. 713~727
18. Ellingwood, B., "Safety Checking Formats for Limit States Design", Journal of the Structural Division, ASCE, Vol. 108, № ST7, July, 1982, pp. 1481~1493
19. Yura, J.A., Galambos, T.V., and Ravindra, M.K., "The Bending Resistance of Steel Beams", Journal of the Structural Division, ASCE, Vol. 104, № ST9, Sep., 1978, pp. 1355~1369
20. Fisher, J.W., Galambos, T.V., Kalak, G.L., and Ravindra, M.K., "Load and Resistance Factor Design Criteria for Connectors", Journal of the Structural Division, ASCE, Vol. 104, № ST9, Sep., 1978, pp. 1427~1441
21. Hansell, W.C., Galambos, T.V., Ravindra, M.K., and Viest, I.M., "Composite Beam Criteria in LRFD", Journal of the Structural Division, ASCE, Vol. 104, № ST9, Sep., 1978, pp. 1409~1425
22. Cooper, P.B., Galambos, T.V., and Ravindra, M.K., "LRFD Criteria for Plate Girders", Journal of the Structural Division, ASCE, Vol. 104, № ST9, Sep., 1978, pp. 1389~1407
23. Galambos, T.V., and Ravindra, M.K., "Properties of Steel for Use in LRFD", Journal of the Structural Division, ASCE, Vol. 104, № ST9, Sep., 1978, pp. 1459~1468
24. Ang, A.H-S., and Cornell, C.A., "Reliability Bases of Structural Safety and Design", Journal of the Structural Division, ASCE, Vol. 100, № ST9, Sep., 1974, pp. 1755~1769